

Ultimo aggiornamento delle informazioni: Gennaio 2025

Configurazione di prodotto: RP08.M6

RP08.M6: Apparecchio a plafone - Ø234 - UGR < 19 - Bianco/Nero Trasparente

**Codice prodotto**

RP08.M6: Apparecchio a plafone - Ø234 - UGR < 19 - Bianco/Nero Trasparente

Descrizione tecnica

Apparecchio per illuminazione diretta - installazione a soffitto. Sorgente LED ad elevato indice di resa cromatica - emissione a luminanza controllata $L < 3000 \text{ cd/mq}$ - UGR < 19 - ideale per ambienti con uso di videotermini. Gruppo emittente in PMMA composto da riflettore prismaticizzato trasparente in combinazione con recuperatore di flusso e schermo diffusore - una cover interna in policarbonato definisce visivamente il gruppo ottico. Struttura esterna del corpo luminoso a doppio elemento in alluminio tornito - finitura con verniciatura uniforme o combinata. Il pratico sistema di fissaggio a baionetta permette di separare le due sezioni per eseguire le operazioni di cablaggio - un cavo di ritenuta in acciaio previene la possibilità di caduta della sezione divisa. Unità di alimentazione dimmerabile DALI integrata nel corpo luminoso.

Installazione

installazione a soffitto direttamente sulla struttura separabile in due sezioni con sistema a baionetta.

Colore

Bianco/Nero Trasparente (M6)

Peso (Kg)

1.79

Montaggio

a soffitto

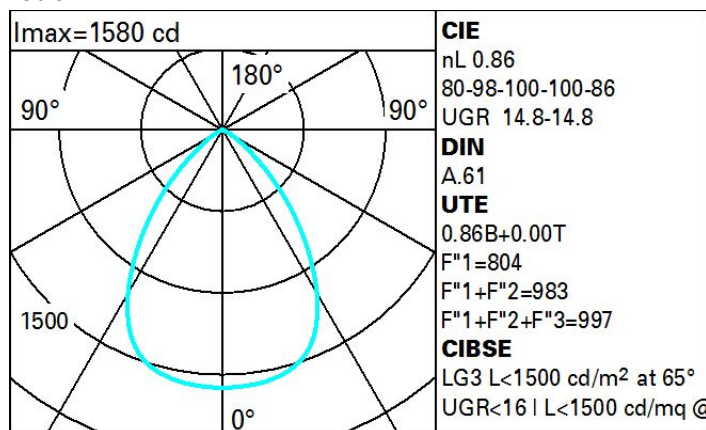
Cablaggio

Driver dimmerabile DALI integrato - morsettiera di cablaggio posizionata nella sezione superiore della struttura.

Soddisfa EN60598-1 e relative note

**Dati tecnici**

| | | | |
|--|-------|------------------------------------|--------|
| Im di sistema: | 2279 | CRI (minimo): | 90 |
| W di sistema: | 18 | Temperatura colore [K]: | 3500 |
| Im di sorgente: | 2650 | MacAdam Step: | 2 |
| W di sorgente: | 18 | Codice lampada: | LED |
| Efficienza luminosa (lm/W, dati di sistema): | 126.6 | Numero di lampade per vano ottico: | 1 |
| Im in modalità emergenza: | - | Codice ZVEI: | LED |
| Flusso totale emesso a 90° o superiore [Lm]: | 0 | Numero di vani ottici: | 1 |
| Light Output Ratio (L.O.R.) [%]: | 86 | Control: | DALI-2 |

Polare

Coefficienti di utilizzazione

| R | 77 | 75 | 73 | 71 | 55 | 53 | 33 | 00 | DRR |
|------|----|----|----|----|----|----|----|----|-----|
| K0.8 | 70 | 64 | 60 | 57 | 63 | 59 | 59 | 55 | 64 |
| 1.0 | 75 | 69 | 65 | 62 | 68 | 65 | 64 | 60 | 70 |
| 1.5 | 81 | 77 | 74 | 71 | 76 | 73 | 72 | 69 | 80 |
| 2.0 | 84 | 81 | 79 | 77 | 80 | 78 | 77 | 74 | 86 |
| 2.5 | 86 | 84 | 82 | 80 | 83 | 81 | 80 | 77 | 89 |
| 3.0 | 88 | 86 | 84 | 83 | 84 | 83 | 82 | 79 | 92 |
| 4.0 | 89 | 88 | 86 | 85 | 86 | 85 | 84 | 81 | 94 |
| 5.0 | 90 | 89 | 88 | 87 | 87 | 86 | 85 | 82 | 95 |

Curva limite di luminanza

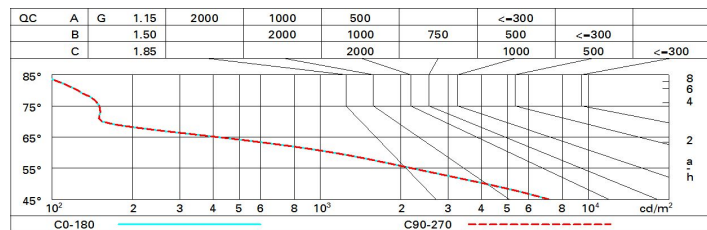


Diagramma UGR

| Corrected UGR values (at 2050 lm bare lamp luminous flux) | | | | | | | | | | | |
|--|-----|---------------------|------|------|------|-------------|-------------------|------|------|-------------|------|
| Reflect.: ceiling/cav walls work pl. Room dim x y | | viewed crosswise | | | | | viewed endwise | | | | |
| 2H | 2H | 15.3 | 10.1 | 15.0 | 10.3 | 10.0 | 15.3 | 10.1 | 15.0 | 10.3 | 10.0 |
| | 3H | 15.2 | 15.9 | 15.5 | 10.1 | 10.4 | 15.2 | 15.9 | 15.5 | 10.2 | 10.5 |
| | 4H | 15.1 | 15.7 | 15.4 | 10.0 | 10.4 | 15.1 | 15.8 | 15.5 | 10.1 | 10.4 |
| | 6H | 15.0 | 15.6 | 15.4 | 15.9 | 10.3 | 15.0 | 15.7 | 15.4 | 10.0 | 10.3 |
| | 8H | 15.0 | 15.6 | 15.3 | 15.9 | 10.2 | 15.0 | 15.6 | 15.4 | 15.9 | 10.3 |
| | 12H | 14.9 | 15.5 | 15.3 | 15.8 | 10.2 | 15.0 | 15.5 | 15.4 | 15.9 | 10.2 |
| 4H | 2H | 15.1 | 15.8 | 15.5 | 10.1 | 10.4 | 15.1 | 15.7 | 15.4 | 10.0 | 10.4 |
| | 3H | 15.0 | 15.6 | 15.4 | 15.9 | 10.3 | 15.0 | 15.6 | 15.4 | 15.9 | 10.3 |
| | 4H | 14.9 | 15.4 | 15.3 | 15.8 | 10.2 | 14.9 | 15.4 | 15.3 | 15.8 | 10.2 |
| | 6H | 14.8 | 15.3 | 15.3 | 15.7 | 10.1 | 14.8 | 15.3 | 15.3 | 15.7 | 10.1 |
| | 8H | 14.8 | 15.2 | 15.2 | 15.6 | 10.0 | 14.8 | 15.2 | 15.2 | 15.6 | 10.0 |
| | 12H | 14.8 | 15.1 | 15.2 | 15.5 | 10.0 | 14.7 | 15.1 | 15.2 | 15.5 | 10.0 |
| 8H | 4H | 14.8 | 15.2 | 15.2 | 15.6 | 10.0 | 14.8 | 15.2 | 15.2 | 15.6 | 10.0 |
| | 6H | 14.7 | 15.0 | 15.2 | 15.5 | 10.0 | 14.7 | 15.0 | 15.2 | 15.5 | 10.0 |
| | 8H | 14.7 | 14.9 | 15.2 | 15.4 | 15.9 | 14.7 | 14.9 | 15.2 | 15.4 | 15.9 |
| | 12H | 14.6 | 14.9 | 15.1 | 15.3 | 15.9 | 14.6 | 14.9 | 15.1 | 15.3 | 15.9 |
| 12H | 4H | 14.7 | 15.1 | 15.2 | 15.5 | 10.0 | 14.8 | 15.1 | 15.2 | 15.5 | 10.0 |
| | 6H | 14.7 | 14.9 | 15.1 | 15.4 | 15.9 | 14.7 | 14.9 | 15.2 | 15.4 | 15.9 |
| | 8H | 14.6 | 14.9 | 15.1 | 15.3 | 15.9 | 14.6 | 14.9 | 15.1 | 15.3 | 15.9 |
| Variations with the observer position at spacing: | | | | | | | | | | | |
| S = | | 1.0H | | | | 2.0 / -4.8 | | | | 2.0 / -4.8 | |
| | | 1.5H | | | | 4.3 / -9.9 | | | | 4.3 / -9.9 | |
| | | 2.0H | | | | 6.2 / -14.2 | | | | 6.2 / -14.2 | |